

MchiN strisce

programma di analisi delle sezioni a strisce

Andrea Marchi

28 maggio 2021

**QUESTO DOCUMENTO NON É
ANCORA COMPLETO**

Indice

1	Programma	2
1.1	Teoria di base	2
1.2	Geometria della sezione	3
1.3	Situazioni limite	3
1.4	Punto di fessurazione	3
1.4.1	Punto di snervamento	4
1.4.2	Punto di rottura	4
1.5	Grafico momento-curvatura	5
2	Sezioni in calcestruzzo armato	6
2.1	Pilastro 30x30cm	6
2.2	Pilastro 30x50cm	6
2.3	Palo 120cm	8
2.4	Pila 1250x1250x125	8
3	Sezioni in acciaio	9
A	Esempio di utilizzo della classe	10
B	Programma MATLAB	11
B.1	MchiNstrisce.m	11
B.2	Legami costitutivi	20
B.2.1	Calcestruzzo	20
B.2.2	Acciaio	20

1 Programma

Il programma consiste in una classe (MchiNstrisce) implementata in MATLAB. Basta inserire il file corrispondente alla definizione della classe (il file "MchiNstrisce.m") nella cartella del file che la chiama, o in una delle sottocartelle nel *path* di MatLab per utilizzare la classe e tutte le sue funzionalità.

1.1 Teoria di base

L'analisi a fibre consiste nel dividere la sezione in "piccole" aree chiamate *fibre*¹. Le *strisce*, usate in questa classe come discretizzazione delle sezioni, non sono altro che fibre larghe quanto la larghezza della sezione ad una determinata *y* (secondo l'asse perpendicolare all'asse di sollecitazione)².

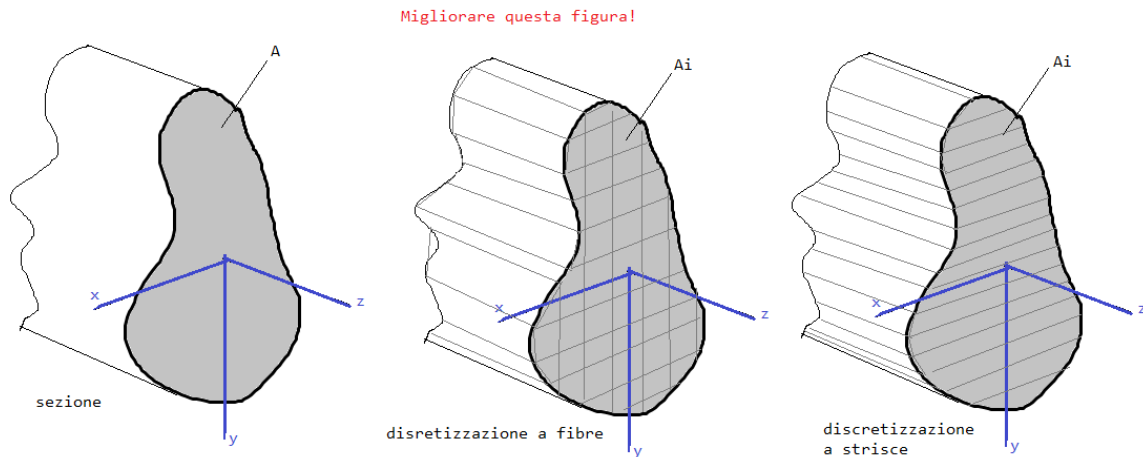


Figura 1: Discretizzazione della sezione in *fibre* e in *strisce*.

in realtà la *y* l'ho presa verso l'ALTO io (il contrario della convenzione italiana)

Le equazioni che definiscono le caratteristiche di sollecitazione interne ad un elemento, a partire dalle tensioni interne al continuo, sono:

$$N_{int}(z) = \int_A \sigma_z(x, y, z) dA \quad V_{int}(z) = \int_A \tau_{zy}(x, y, z) dA \quad M_{x,int}(z) = \int_A \sigma_z(x, y, z) y dA \quad (1)$$

dove gli integrali sono integrali superficiali svolti sulla sezione della trave (nel piano *xy*). Dato che in generale la forma della sezione (e quindi il dominio di integrazione) non è esprimibile in forma analitica in funzione di *x* e *y*, si ricorre alla discretizzazione della sezione in elementi piccoli (ma non infinitesimi) approssimando gli integrali in somme. Tale discretizzazione permette di calcolare anche sezioni costituite da materiali eterogenei e con legami costitutivi non-lineari (come il calcestruzzo armato).

$$N_{int} = \sum_i \sigma_z(x_i, y_i) A_i \quad V_{int} = \sum_i \tau_{zy}(x_i, y_i) A_i \quad M_{x,int} = \sum_i \sigma_z(x_i, y_i) y_i A_i \quad (2)$$

dove *x_i* e *y_i* sono le coordinate del baricentro della fibra (sempre rispetto al baricentro della sezione omogeneizzata *G*). Inoltre la coordinata *z* è stata omessa in quanto si è interessati a valutare la resistenza della sezione, che generalmente non varia al variare della lunghezza dell'elemento.

immagine di una sezione piana discretizzata con le quote di *b_i* con vari materiali e anche dei buchi per mostrare le varie opportunità

¹Riferimento al modello di Drukcer

²In questo caso l'asse di sollecitazione è l'asse *y* e quindi la larghezza della fibra *i*-esima è la larghezza complessiva della sezione (per quel determinato materiale) all'"altezza" *y_i* della fibra.

L'ipotesi principale utilizzata nel calcolo delle azioni interne è che *le sezioni piane e perpendicolari all'asse dell'elemento rimangono piane e perpendicolari anche nella configurazione deformata*. Dunque l'analisi della sezione a fibre consiste nel determinare le azioni interne (N_{int} , V_{int} e $M_{x,int}$) in funzione della deformazione, tramite i legami costitutivi dei vari materiali. Fare questo calcolo in maniera numerica per ogni striscia permette di utilizzare anche legami costitutivi non-lineari, che risulta particolarmente conveniente per elementi in calcestruzzo armato dove il comportamento non-lineare è predominante. Per trovare la deformazione corrispondente ad un determinato sistema di azioni esterne (N , V , e M_x) si utilizzano le equazioni di equilibrio³

$$N_{int} = N \quad V_{int} = V \quad M_{x,int} = M_x \quad (4)$$

insieme ad algoritmi di soluzione per problemi non-lineari. Gli algoritmi presi in considerazione in questa trattazione sono l'algoritmo di *bisezione* e quello di *Newton-Raphson*.

1.2 Geometria della sezione

1.3 Situazioni limite

Grafico $M - \chi$ in cui sono mostrati i punti limite: Punto di primo snervamento, snervamento e rottura

1.4 Punto di fessurazione

La fessurazione avviene quando la fibra più allungata supera l'allungamento di rottura del calcestruzzo ϵ_{ct} . Per calcolare correttamente le azioni interne nel punto di fessurazione bisogna utilizzare un legame costitutivo per il calcestruzzo che includa la descrizione del comportamento a trazione.

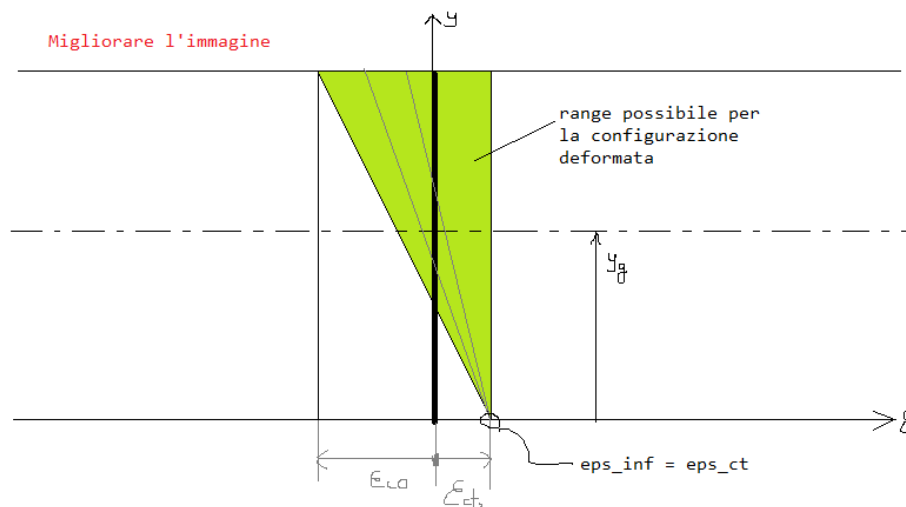


Figura 2: Intervallo possibile per la configurazione deformata nella condizione di prima fessurazione.

³Da notare che, in generale, le equazioni di equilibrio impongono che la somma delle forze e dei momenti devono essere uguali a zero

$$\text{equilibrio alla traslazione: } \rightarrow \sum \mathbf{f}_i = \mathbf{0} \quad \text{equilibrio alla rotazione: } \rightarrow \sum \mathbf{m}_i = \sum \mathbf{f}_i \times \mathbf{d}_i = \mathbf{0} \quad (3)$$

In questo caso tuttavia le azioni interne sono da considerarsi come delle *reazioni*. Dunque la condizione di equilibrio è un'eguaglianza tra azioni (N , V , e M_x) e reazioni (N_{int} , V_{int} e $M_{x,int}$).

Migliorare l'immagine

range possibile per la configurazione deformata

ϵ_y

σ_y

ϵ

σ

$\epsilon_{inf} = \epsilon_y$

1.4.2 Punto di rottura

Dato che, secondo l'ipotesi cinematica principale, *le sezioni piane rimangono piane* il campo di deformazione della sezione è definito da due parametri. Dunque, definiti dei legami costitutivi per il calcestruzzo e l'acciaio, anche le azioni interne N_{int} e M_{int} dipendono da due parametri. In questo particolare caso risulta conveniente prendere come parametri la deformazione al lembo inferiore ε_{inf} e la deformazione al lembo superiore ε_{sup} . La deformazione, in funzione della profondità y , è definita da

Immagine con la deformazione nel piano yz e anche la sezione affianco con la fibra messa in evidenza

$$N_{int}(\epsilon_{inf}, \epsilon_{sup}) = \sum_i \sigma_{cls}[\mathcal{E}(y_i; \epsilon_{inf}, \epsilon_{sup})] A_i + \sum_j \sigma_{acc}[\mathcal{E}(y_j; \epsilon_{inf}, \epsilon_{sup})] A_j \quad (6)$$

dove sono stati esplicitati i contributi delle armature j . In generale si possono definire quanti materiali si desiderano, con i relativi legami costitutivi.

La condizione di rottura vincola una delle due incognite. Infatti, se si ha una rottura lato calcestruzzo, la deformazione superiore deve essere pari alla deformazione ultima del calcestruzzo $\varepsilon_{sup} = \varepsilon_{cu}$. In caso di rottura lato acciaio la deformazione del lembo inferiore è pari alla deformazione ultima dell'acciaio $\varepsilon_{inf} = \varepsilon_{su}$. **Questo comporta che la flessione nelle sezioni analizzate è sempre presa *positiva*, ovvero che tende le fibre inferiori. Nel caso di flessione negativa il superiore si "inverte" con l'inferiore.** Una volta fissata una delle due incognite, ε_{sup} o ε_{inf} in caso si ha rispettivamente una rottura lato calcestruzzo o lato acciaio, la seconda è trovata grazie all'equazione di equilibrio alla traslazione assiale $N_{int}(\varepsilon_{inf}, \varepsilon_{sup}) = N$, dove N è lo sforzo assiale a cui è soggetta la sezione.

4

perché di *accorciamento*. Allora in questo particolare caso si vuole trovare ε_{inf} invertendo l'equazione di equilibrio

$$N_{int}(\varepsilon_{inf}, \varepsilon_{sup} = \varepsilon_{cu}) = N \quad (8)$$

Dato che si tratta di un'equazione non-lineare per invertirla si necessita di un metodo di soluzione numerico adatto. In questo caso si utilizza l'algoritmo della *bisezione*. Tale algoritmo consiste nel trovare un range di variabilità del parametro in esame (in questo esempio ε_{inf}) e successivamente riduce tale intervallo in base alla valutazione dell'equazione in esame nei punti estremi ed in quello intermedio. **Spiegare meglio in una appendice, oppure mettere un riferimento Pro.** Come intervallo iniziale per la variabile ricercata si prende

$$\varepsilon_{cu} \leq \varepsilon_{inf} \leq \varepsilon_{su} \quad (9)$$

```
1 eps_infN = eps_cu; %limite inferiore dell'intervallo (negativo: accorciamento)
2 eps_infP = eps_su; %limite superiore dell'intervallo (positivo: allungamento)
```

in quanto, in qualunque caso, non può essere fuori da tale intervallo (altrimenti saremmo in una condizione post-critica e quindi non più in un punto di rottura). Il valore dello sforzo normale agente N (negativo di compressione) sarà sicuramente compreso tra i valori dello sforzo normale interno N_{int} calcolato nei due punti estremi dell'intervallo

$$N_{int}(\varepsilon_{inf,N}, \varepsilon_{sup} = \varepsilon_{cu}) \leq N \leq N_{int}(\varepsilon_{inf,P}, \varepsilon_{sup} = \varepsilon_{cu}) \quad (10)$$

La procedura della *bisezione* consiste nel determinare lo sforzo normale in un punto intermedio tra i due

$$\varepsilon_{inf,M} = \frac{\varepsilon_{inf,N} + \varepsilon_{inf,P}}{2} \quad (11)$$

ed aggiornare l'intervallo prendendo questo punto intermedio come estremo e quindi *dimezzare* l'intervallo di ricerca⁴. La decisione su quale dei due estremi (inferiore o superiore) deve assumere il valore medio dipende dal valore della funzione da risolvere nel punto medio. In particolare se $N_{int}(\varepsilon_{inf,M}, \varepsilon_{sup} = \varepsilon_{cu}) < N$ allora vuol dire che il valore medio è il nuovo limite inferiore ($\varepsilon_{inf,N} = \varepsilon_{inf,M}$) poiché questo permette di mantenere lo sforzo normale agente N all'interno dell'intervallo di ricerca. Al contrario, se $N_{int}(\varepsilon_{inf,M}, \varepsilon_{sup} = \varepsilon_{cu}) > N$ allora il valore medio è il nuovo limite superiore ($\varepsilon_{inf,P} = \varepsilon_{inf,M}$).

inserire una immagine di uno step di bisezione per rendere tutto più chiaro (anche con il riferimento della sezione affianco)

Tale procedura di dimezzamento dell'intervallo viene ripetuta finché i due estremi non convergono ad un valore, che risulta essere il risultato cercato. Nel caso in cui lo strumento di calcolo possiede una precisione infinita e vengono eseguite infinite iterazioni di dimezzamento, i due estremi dovrebbero convergere in un valore unico (se il problema è ben posto). Tuttavia questo non è tecnicamente possibile attraverso strumenti di calcolo odierni. La procedura iterativa si conclude quando vengono passati determinati test di convergenza. In particolare un test di convergenza sulla risultante dello sforzo normale e sul valore degli estremi di ricerca

$$\left| N_{int}(\varepsilon_{inf,M}, \varepsilon_{sup} = \varepsilon_{cu}) - N \right| < |\text{tol} \cdot N| \quad \left| \varepsilon_{inf,P} - \varepsilon_{inf,N} \right| < |\text{tol} \cdot \varepsilon_{inf,P}| \quad (12)$$

dove "tol" è il valore di tolleranza in termini percentuali. Nel caso in cui si ha la rottura lato acciaio tutte le considerazioni rimangono uguali, tranne che per il fatto che ad essere fissato è ε_{inf} e la ricerca della bisezione avviene per ε_{sup} .

Una volta trovati i valori di ε_{inf} e ε_{sup} gli sforzi interni N_{int} e M_{int} li ricava grazie alle equazioni **riferimento**, mentre le altre quantità sono pari a

$$\chi = \frac{\varepsilon_{inf} - \varepsilon_{sup}}{H} \quad y_n = \frac{\varepsilon_{sup}}{\varepsilon_{sup} - \varepsilon_{inf}} H \quad (13)$$

1.5 Grafico momento-curvatura

⁴Proprio per il fatto che ad ogni iterazione l'intervallo di ricerca si dimezza questo metodo è chiamato *metodo di bisezione*.

2 Sezioni in calcestruzzo armato

In questa sezione vengono confrontati i risultati della routine *MATLAB "MchiNstrisce"* con altri software di analisi delle sezioni:

- VcaSLU
- EC2
- FranchinEEtoolbox
- SAP2000
- SeRes

EC2 funziona malissimo Fare una "description" dei vari programmi utilizzati dicendo da dove vengono e chi li ha fatti?

Le caratteristiche dei materiali sono:

Calcestruzzo: $f_c = 40 \text{ MPa}$ $\varepsilon_{c0} = 0.0020$ $\varepsilon_{cu} = 0.0035$
Acciaio: $f_y = 400 \text{ MPa}$ $\varepsilon_y = 0.0020$ $\varepsilon_{su} = 0.03$

inserire una immagine dei legami costitutivi

Le sezioni presentate in questa sezione sono da considerarsi ideali ed ideate solamente con lo scopo di testare i vari le routine in base ai risultati di altri programmi di calcolo. Si è ben consapevoli che, in alcune occasioni, determinate sezioni non sarebbero realizzabili a causa dei vincoli imposti dalle normative tecniche locali.

2.1 Pilastro 30x30cm

inserire l'immagine della sezione con TikZ

2.2 Pilastro 30x50cm

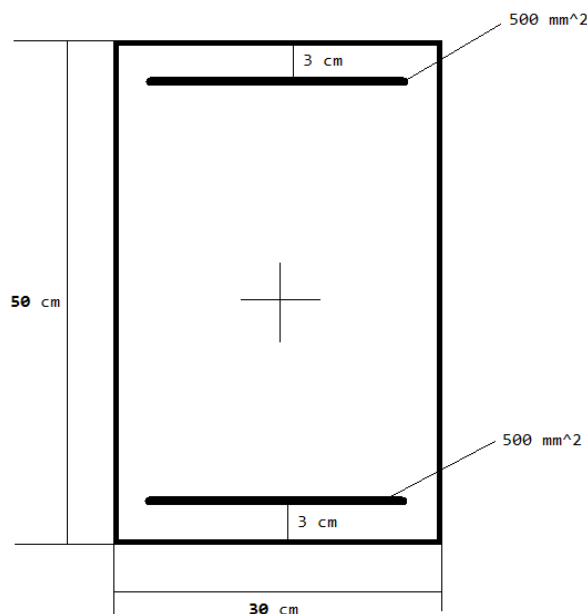


Figura 4: Pilastro 30 × 50 cm.

migliorare immagine

	M_u [MNm]	ϕ_u [1/m]	y_u [m]	M_y [MNm]	ϕ_y [1/m]	y_y [m]
VcaSLU	0.092	0.1134	0.029	0.088	0.005	-
EC2	0.092	-	0.028	-	-	-
FranchinEEtb	0.093	0.135	~0.03	0.089	0.006	~0.09
FranchinEEtb(anal)	0.092	0.1336	0.021	0.089	0.005	0.081
MchiNstrisce (1) ⁵	0.092	0.1207	0.029	0.082	0.005	0.088
MchiNstrisce (2) ⁶	0.092	0.1206	-	0.090	0.005	-
MchiN(anal) ⁷						

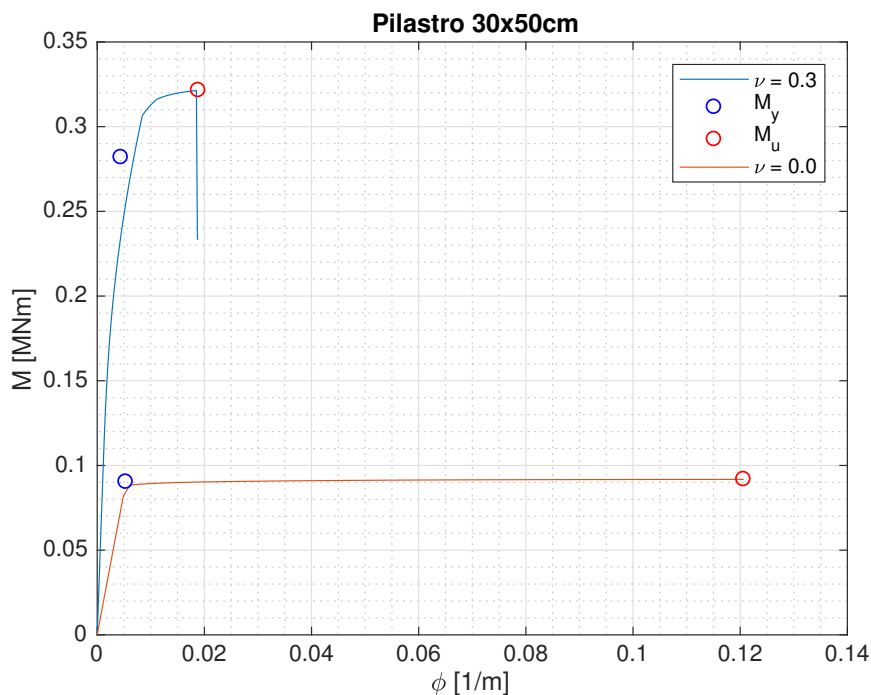
Tabella 1: Risultati per il pilastro a sezione 30×50 cm con $\nu = 0.0$.

	M_u [MNm]	ϕ_u [1/m]	y_u [m]	M_y [MNm]	ϕ_y [1/m]	y_y [m]
VcaSLU	0.322	0.0178	0.185	0.307	0.008	-
FranchinEEtb	0.400	0.021	~0.21	0.383	0.009	~0.27
FranchinEEtb(anal)	0.403	0.0187	0.188	0.414	0.008	0.204
MchiNstrisce (1)	0.321	0.0189	0.185	0.296	0.008	0.239
MchiNstrisce (2)	0.321	0.0185	-	0.281	0.004	-
MchiN(anal)						

Tabella 2: Risultati per il pilastro a sezione 30×50 cm con $\nu = 0.3$.

L'errore massimo è del 10% sul valore di M_y , mentre ϕ_y presenta una variabilità anche del 50%. Il valore del momento ultimo M_u e della profondità dell'asse neutro nello stato ultimo y_u sono sostanzialmente identici. Le differenze nella definizione del momento e della curvatura di snervamento sono imputabili al fatto che la routine findPoints2 trova il punto di snervamento facendo un fit della curva con un modello bilineare. Nell'immagine seguente sono riportate le curve $M - \phi$ per la sezione in esame.

Le soluzioni analitiche trovate tramite il foglio di Excel del Professor Franchin ("FranchinEEtoolbox.xlsx") sono riferite ad una sezione con armatura semplice (solo uno strato di armatura inferiore). **il momento ultimo è minore di quello di snervamento per il caso $\nu = 0.3$?**



⁵yieldingPoints e ultimatePoints

⁶findPoints2

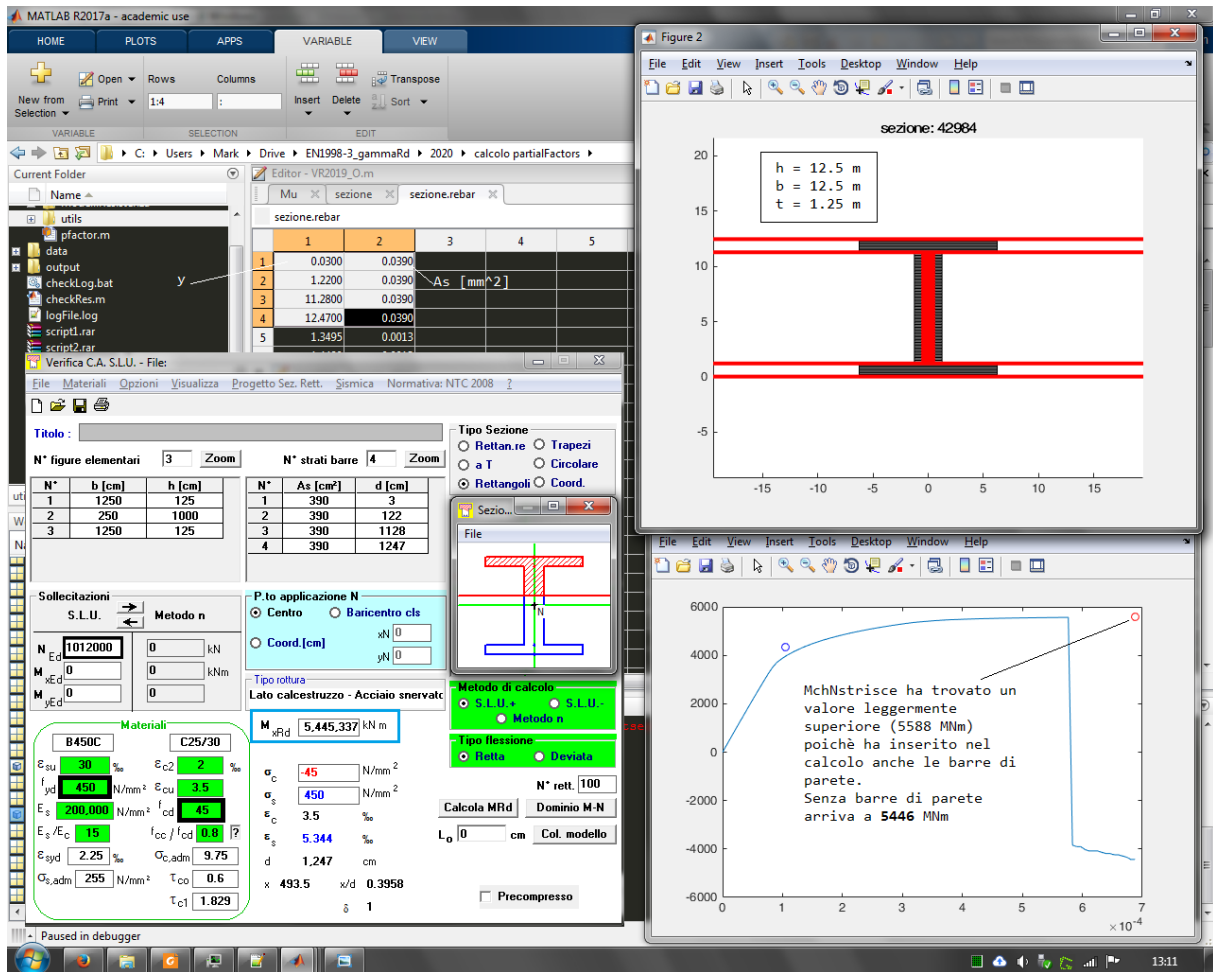
⁷Analitico

2.3 Palo 120cm

PARE CHE CI SIA UNA DISCREPANZA TRA VCASLU E MCHIN (vedere i calcoli per il palo del Gatteo)

Forse c'è un problema nel calcolo delle sezioni circolari...

2.4 Pila 1250x1250x125



3 Sezioni in acciaio

In questa sezione vengono confrontati i risultati della routine *MATLAB* "MchiNstrisceSteel" con i dati dei profilati ed altri software di analisi delle sezioni:

- VcaSLU
- EC2
- SAP2000
- SeRes

A Esempio di utilizzo della classe

Di seguito è riportato il codice per calcolare la sezione del pilastro 30x50 cm.

```
1 %testa le procedure MchiN
2
3 addpath(genpath(pwd));
4
5
6 %% Pilastro 30x50cm
7
8 clc
9
10 %parametri
11 H = 0.5;      %[m]
12 B = 0.3;      %[m]
13 c = 0.03;     %[m] (copriferro)
14 fc = 30;      %[MPa]
15 fy = 400;     %[MPa]
16 As = 500/1e6; %[m^2] (area di uno strato di armatura)
17 nu = 0.3;     %[-] (compressione normalizzata)
18 Nr = fc*B;    %[MN] (sforzo normale massimo)
19
20 disp('Pilastro_30x50cm');
21
22 sezione = MchiNstrisce(H/1000,@ParabRett,@ElastPlast);
23 sezione.defineMaterials(fc,fy,0.002,0.0035,0.002,0.06);
24 sezione.addLayer(H,B,B);
25 sezione.addRebar(c,As); %armatura inferiore
26 sezione.addRebar(H-c,As); %armatura superiore
27 sezione.initgeo;
28
29 N = - nu * Nr; %negativo: compressione
30
31 [M,phi,yn] = sezione.ultimatePoint(N);
32 disp('ultimatePoint:');
33 disp(['M_u= ' num2str(M)]);
34 disp(['phi_u= ' num2str(phi)]);
35 disp(['yn_u= ' num2str(yn)]);
36 [M,phi,yn] = sezione.yieldingPoint(N);
37 disp('yieldingPoint:');
38 disp(['M_y= ' num2str(M)]);
39 disp(['phi_y= ' num2str(phi)]);
40 disp(['yn_y= ' num2str(yn)]);
41
42 [My,chiy,Mu,chiu] = sezione.findPoints2(N,1);
43 disp('findPoints2:');
44 disp(['M_y= ' num2str(My)]);
45 disp(['phi_y= ' num2str(chiy)]);
46 disp(['M_u= ' num2str(Mu)]);
47 disp(['phi_u= ' num2str(chiu)]);
```

B Programma *MATLAB*

B.1 MchiNstrisce.m

```
1 % Questa classe e' basata sul codice SeReS_strisce
2
3 classdef MchiNstrisce < handle
4     properties
5         hmax %altezza massima del layer
6         layer %matrice dove ogni riga e' un layer e le colonne sono: y, h, b_bot, b_top
7         rebar %matrice dove ogni riga e' una barra e le colonne sono: y, As, mat_id
8         %
9         materials %struttura che contiene le funzioni sigma(eps) dei materiali (ogni riga e'
10        un materiale differente)
11        legameCLS %legame sigma(eps) del CLS
12        legameAcc %legame sigma(eps) dell'acciaio
13        %proprieta' aggiuntive:
14        layersProp %ogni riga e' un layer, le colonne sono: Area, ygl
15        %proprieta' dei materiali:
16        fc %resistenza calcestruzzo
17        fy %resistenza acciaio
18        epscy, epscu %deformazione di snervamento e ultima del CLS
19        epssy, epssu %deformazione di snervamento e ultima dell'acciaio
20        %costanti della sezione:
21        Area %Area della Sezione
22        yg %coordinata del baricentro
23        Ix %Momento di inerzia secondo l'asse orizzontale
24        H %altezza totale della sezione
25    end
26    methods
27        function obj = MchiNstrisce(hmax,CLS,Acc)
28            %costruttore della classe
29            obj.hmax = hmax;
30            obj.legameCLS = CLS;
31            obj.legameAcc = Acc;
32        end
33
34        function addLayer(obj,h,b,t)
35            %aggiunge tanti layer alti massimo h_max fino a creare la patch
36            %desiderata
37            y = 0;
38            for i=1:size(obj.layer,1); y = y + obj.layer(i,2); end
39            sum = 0;
40            while (h - (sum+obj.hmax) > 0)
41                bj = b + (t-b)/(h)*(sum);
42                tj = b + (t-b)/(h)*(sum+obj.hmax);
43                if size(obj.layer,1) > 0; obj.layer = [obj.layer; (obj.layer(size(obj.layer,1),1)+
44                ,1)+obj.layer(size(obj.layer,1),2)) obj.hmax bj tj];
45            else; obj.layer = [obj.layer; 0 obj.hmax b tj]; end %aggiunge il primo layer
46            sum = sum + obj.hmax;
47        end
48        bj = b + (t-b)/(h)*(sum);
49        if size(obj.layer,1) > 0; obj.layer = [obj.layer; (obj.layer(size(obj.layer,1),1)+
50        obj.layer(size(obj.layer,1),2)) h-sum bj tj];
51        else; obj.layer = [obj.layer; 0 h b t]; end %aggiunge il primo layer
52    end
53
54        function addRebar(obj,y,As)
55            %aggiunge uno strato di armature ordinarie
56            obj.rebar = [obj.rebar; y As];
57        end
58
59        function defineMaterials(obj, fc, fy, eps_cy, eps_cu, eps_sy, eps_su)
60            %aggiunge le proprieta' dei materiali
61            if nargin < 4
62                obj.fc = -abs(fc); %negativo: compressione
63                obj.fy = fy;
64                obj.epscy = -0.002; %negativo: accorciamento
65                obj.epscu = -0.0035;
```

```

63         obj.epssy = 0.002;
64         obj.epssu = 0.03; %il massimo a cui sono arrivato e' il 6% (le NTC mi pare
           prescrivano l'1%)
65     else
66         obj.fc = -abs(fc);
67         obj.fy = fy;
68         obj.epscy = -abs(eps_cy);
69         obj.epscu = -abs(eps_cu);
70         obj.epssy = eps_sy;
71         obj.epssu = eps_su;
72     end
73 end
74
75 function initgeo(obj)
76     %calcola la geometria della sezione
77     %si prende in considerazione il fatto che sia composta tutta dello stesso
       materiale (in realta' dovrei SEMPRE omogeneizzare i layer [per ogni layer un
       coeff. di omogenizzazione n])
78     obj.Area = 0;
79     obj.Ix = 0;
80     Sx = 0;
81     for i=1:size(obj.layer,1)
82         %1 2 3 4
83         %y, h, b, t, mat_id
84         Areal = 0.5 * obj.layer(i,2) * (obj.layer(i,3) + obj.layer(i,4));
85         ygl = obj.layer(i,1) + obj.layer(i,2)/3 * (1+obj.layer(i,4)/(obj.layer(i,3)+
           obj.layer(i,4)));
86         obj.Area = obj.Area + Areal;
87         obj.layersProp = [obj.layersProp; Areal ygl];
88         Sx = Sx + obj.layer(i,3) * obj.layer(i,2) * (obj.layer(i,2)/2 + obj.layer(i,1)
           ) + 0.5*obj.layer(i,2)*(obj.layer(i,4)-obj.layer(i,3))*(2/3.*obj.layer(i
           ,2) + obj.layer(i,1));
89         obj.Ix = obj.Ix + 1/36*(obj.layer(i,2))^3*(2*obj.layer(i,3)+obj.layer(i,4)) +
           obj.layer(i,2)*(obj.layer(i,3)*(1/2*obj.layer(i,2)+obj.layer(i,1))^2 +
           1/2*(obj.layer(i,4)-obj.layer(i,3))*(2/3*obj.layer(i,2)+obj.layer(i,1))^2)
           ;
90     end
91     obj.yg = Sx / obj.Area;
92     obj.Ix = obj.Ix - obj.Area * (obj.yg)^2;
93     obj.H = sum(obj.layer(:,2));
94 end
95
96 function [N,M] = setStrain(obj,eps_b,eps_t)
97     %calcola N e M impostata la deformazione al lembo inferiore
98     %(eps_b) e al lembo superiore (eps_t)
99
100     %forze nei layers:
101     Flayer = obj.legameCLS((eps_t-eps_b)*obj.layersProp(:,2)/obj.H+eps_b, obj.epscy,
       obj.epscu,obj.fc) .* obj.layersProp(:,1);
102     %forze nelle barre:
103     Frebar = obj.legameAcc((eps_t-eps_b)*obj.rebar(:,1)/obj.H+eps_b, obj.epssy,obj.
       epssu,obj.fy) .* obj.rebar(:,2);
104
105     %contributo del calcestruzzo
106     N = sum(Flayer);
107     M = sum(Flayer .* obj.layersProp(:,2));
108     %contributo dell'acciaio
109     N = N + sum(Frebar);
110     M = M + sum(Frebar .* obj.rebar(:,1));
111
112     M = M - N * obj.yg; %aggiunge il momento dovuto alla forza normale
113 end
114
115 function [M,phi,yn] = yieldingPoint(obj, N)
116     %calcola il punto di primo snervamento dato uno sforzo normale N
117     % DA MIGLIORARE L'ALGORITMO!!!!!!! (vedi la procedura usata per
118     % "ultimatePoint")
119
120     if N < obj.fc*obj.Area; error('la sezione non puo' resistere a tale compressione')
       ; end

```

```

121     if N > obj.fy*sum(obj.rebar(:,2)); error('la_sezione_non_puo' resistere a tale
        trazione'); end
122
123     % fissato lo eps_inf = epssy cambia eps_top fino a trovare N corretto
124     eps_inf = obj.epssy;
125
126     %trova un range per fare la bisezione
127     count = 0;
128     eps_supP = obj.epssy; %l'ho scelto io (l'N iniziale puo' essere solamente minore)
129     eps_supN = obj.epssy; %valore Negativo
130     while obj.setStrain(eps_inf,eps_supN) > N
131         eps_supN = eps_supN - 0.001;
132         count = count + 1;
133         if count > 1000; error('MchiNstrisce_non_e' arrivato a convergenza'); end
134     end
135
136     %fa la bisezione
137     err = [100 100 100];
138     count = 0;
139     while ((abs(err(2)) > abs(0.005 * N)) || (abs(eps_supP-eps_supN) > abs(0.0001*
        eps_supN))) %+0.000001 serve per non creare errori per N=0
140         err = [(obj.setStrain(eps_inf,eps_supP) - N) (obj.setStrain(eps_inf,(eps_supP+
        eps_supN)/2) - N) (obj.setStrain(eps_inf,eps_supN) - N)];
141         if err(1)*err(2) < 0
142             %la risultante e' tra err(1) e err(2) (eps_supP e' corretto)
143             eps_supN = (eps_supP+eps_supN)/2;
144
145         else
146             %la risultante e' tra err(2) e err(3) (eps_supN e' corretto)
147             eps_supP = (eps_supP+eps_supN)/2;
148         end
149         count = count + 1;
150         if count > 1000; error('MchiNstrisce_non_e' arrivato a convergenza'); end
151     end
152
153     eps_sup = (eps_supP+eps_supN)/2;
154
155     [~,M] = obj.setStrain(eps_inf,eps_sup);
156     phi = (eps_inf-eps_sup)/obj.H; %compressione: negativa (la fibra superiore e'
        compressa)
157     yn = -eps_sup/(eps_inf-eps_sup) * obj.H;
158     M = -M; %convenzione italiana
159 end
160
161 function [M,phi,yn] = ultimatePoint(obj, N)
162     %calcola il momento e la curvatura ultimi
163     %il valore di N e' considerato negativo di compressione
164
165     if N < obj.fc*obj.Area; error('la_sezione_non_puo' resistere a tale compressione')
        ; end
166     if N > obj.fy*sum(obj.rebar(:,2)); error('la_sezione_non_puo' resistere a tale
        trazione'); end
167
168     %calcola lo sforzo normale interno della sezione nello stato di
169     %rottura limite (armature a eps_su e calcestruzzo a eps_cu) e
170     %se e' comunque minore dello sforzo agente N (quindi se la
171     %sezione e' piu' compressa dello sforzo normale agente) vuol dire
172     %che l'asse neutro deve "alzarsi" e quindi deve aumentare la
173     %epsilon superiore (aumentare perche' prima era negativa:
174     %-0.35%) Questo ultimo caso porta ad una rottura lato acciaio
175     %(ovvero che e' fissa eps_inf e la bisezione si fa su eps_sup)
176     if obj.setStrain(obj.epssu,obj.epscu) > N
177         %si ha una rottura lato calcestruzzo, quindi e' tenuto fisso
178         %eps_sup = eps_cu
179         rottura_acciaio = 0;
180         eps_sup = obj.epscu; %deformazione ultima del calcestruzzo (negativa: di
        accorciamento)
181     else
182         %si ha una rottura lato acciaio, quindi e' tenuto fisso
183         %eps_inf = eps_su

```

```

184         rottura_acciaio = 1;
185         eps_inf = obj.epssu; %deformazione ultima dell'acciaio (positiva: di
            allungamento)
186     end
187
188     %         if rottura_acciaio; warning('rottura lato acciaio'); end
189     %         if rottura_acciaio; logFile('MchiN:ultimatePoint: rottura lato acciaio'); end
190
191
192     %fa la bisezione
193     err = [100 100 100]; %variabile di errore per la bisezione: [negativo, medio,
        positivo]
194     count = 0;
195     if rottura_acciaio == 0
196         %rottura del CLS:
197         eps_infP = obj.epssu; %deformazione ultima dell'acciaio (non puo' essere
            maggiore)
198         eps_infN = obj.epscu; %deformazione ultima del calcestruzzo (non puo' essere
            minore)
199         while ((abs(err(2)) > abs(0.0001 * N + 1e-18)) || (abs(eps_infP-eps_infN) >
            abs(0.0001*eps_infN))) %1e-18 serve per non creare errori per N=0)
200             eps_infM = (eps_infP + eps_infN) / 2; %epsilon medio tra i due estremi (
                risparmio tre calcoli per ogni iterazione al costo di aggiungere una
                variabile)
201             err = [(obj.setStrain(eps_infN,eps_sup) - N) (obj.setStrain(eps_infM,
                eps_sup) - N) (obj.setStrain(eps_infP,eps_sup) - N)];
202             if err(2) > 0
203                 %la risultante e' tra err(1) e err(2) (eps_infN e' corretto)
204                 eps_infP = eps_infM;
205             else
206                 %la risultante e' tra err(2) e err(3) (eps_infP e' corretto)
207                 eps_infN = eps_infM;
208             end
209             count = count + 1;
210             if count > 10000; error('MchiNstrisce_non_e' arrivato a convergenza'); end
211         end
212         eps_inf = eps_infM;
213     else
214         %rottura dell'acciaio:
215         eps_supP = 0; %potrebbe essere maggiore, potrebbe essere la deformazione di
            snervamento dell'acciaio
216         eps_supN = obj.epscu; %deformazione ultima del calcestruzzo (non puo' essere
            minore)
217         while ((abs(err(2)) > abs(0.0001 * N + 1e-18)) || (abs(eps_supP-eps_supN) >
            abs(0.0001*eps_supN))) %1e-18 serve per non creare errori per N=0)
218             eps_supM = (eps_supP + eps_supN) / 2; %epsilon medio tra i due estremi (
                risparmio tre calcoli per ogni iterazione al costo di aggiungere una
                variabile)
219             err = [(obj.setStrain(eps_inf,eps_supN) - N) (obj.setStrain(eps_inf,
                eps_supM) - N) (obj.setStrain(eps_inf,eps_supP) - N)];
220             if err(2) > 0
221                 %la risultante e' tra err(1) e err(2) (eps_supN e' corretto)
222                 eps_supP = eps_supM;
223             else
224                 %la risultante e' tra err(2) e err(3) (eps_supP e' corretto)
225                 eps_supN = eps_supM;
226             end
227             count = count + 1;
228             if count > 9000
229                 disp('sta_per_fallire');
230             end
231             if count > 10000; error('MchiNstrisce_non_e' arrivato a convergenza'); end
232         end
233         eps_sup = eps_supM;
234     end
235
236     [~,M] = obj.setStrain(eps_inf,eps_sup);
237     phi = (eps_inf-eps_sup)/obj.H; %compressione: negativa (la fibra superiore e'
        compressa) IN REALTa' e' IL CONTRARIO (NEGATIVA)
238     yn = -eps_sup/(eps_inf-eps_sup) * obj.H; %yn definito partendo all'"alto"

```

```

239     M = -M; %convenzione italiana
240 end
241
242
243 function eps = deformazione(obj,eps0,chi,y)
244     %funzione di epsilon: def(eps0,chi,y) = eps0 + chi*(y-yg)
245     eps = eps0 + chi*(y-obj.yg);
246 end
247
248 function [f] = F(obj,eps0,chi,N0,M0)
249     %calcola le funzioni
250     %FUNZIONE AUSILIARIA
251     [N,M] = obj.Fint(eps0,chi);
252     f(1,1) = N - N0;
253     f(2,1) = M - M0;
254 end
255
256 function [N,M] = Fint(obj,eps0,chi)
257     %restituisce le forze interne della sezione dato un profilo di
258     %deformazione (definito da eps0 e chi)
259
260     %-----
261     %NUOVA FORMULAZIONE SENZA -yg NELLA FUNZIONE "deformazione"
262     %-----
263
264     N = sum(obj.legameCLS(obj.deformazione(eps0,chi,obj.layersProp(:,2)), obj.epscy,
265         obj.epscu,obj.fc) .* obj.layersProp(:,1)) + ...
266         sum(obj.legameAcc(obj.deformazione(eps0,chi,obj.rebar(:,1)), obj.epssy,obj.
267             epssu,obj.fy) .* obj.rebar(:,2));
268     M = sum(obj.legameCLS(obj.deformazione(eps0,chi,obj.layersProp(:,2)), obj.epscy,
269         obj.epscu,obj.fc) .* (obj.layersProp(:,2)-obj.yg) .* obj.layersProp(:,1)) +
270         ...
271         sum(obj.legameAcc(obj.deformazione(eps0,chi,obj.rebar(:,1)), obj.epssy,obj.
272             epssu,obj.fy) .* (obj.rebar(:,1)-obj.yg) .* obj.rebar(:,2));
273 end
274
275 function [M,chi] = curvaMchi3(obj,N,chi_lim)
276     % calcola la curva M-chi-N
277     % inizialmente calcola i punti della curva con il metodo di
278     % Newton-Raphson e se fallisce calcola con la bisezione
279     % Con N=0 da problemi numerici, deve essere sempre <0
280
281     if nargin < 3; chi_max = (obj.epssu-obj.epscu)/obj.H; else; chi_max = chi_lim; end
282
283     N_punti = 100; %numero punti della curva
284     delta = 1.e-12; %variazione per il calcolo numerico della derivata parziale
285     tol = 1.e-8; %tolleranza per la convergenza (per il metodo di Newton)
286
287     chi = linspace(0,chi_max,N_punti);
288     M = zeros(1,N_punti);
289
290     for i=2:(N_punti) %parte da 2 perche' cosi' M(0) = 0 (altrimenti non lo e' per
291         %problemi numerici...)
292         err = 1; %variabile di errore (per il test di convergenza)
293         eps0 = 0; %punto iniziale
294         count = 0; %contatore che monitora il caso in cui va in loop infinito
295         bisez = 0; %controlla se non bisogna ricorrere alla bisezione
296         Nint = 0;
297         deltaNint = 100;
298         while (err > tol) || (deltaNint > 0.001*abs(N))
299             Nint_old = Nint;
300             [Nint,~] = obj.Fint(eps0,chi(i));
301             deltaNint = abs(Nint-Nint_old);
302             derivata = (obj.Fint(eps0+delta,chi(i))-Nint)/delta;
303             eps0_old = eps0;
304             eps0 = eps0 + (1/derivata) * (N - Nint);
305             if eps0 ~= 0; err = abs((eps0 - eps0_old)/eps0); else; err = abs(eps0 -
306                 eps0_old); end
307             count = count + 1;
308             if count > 100 || derivata == 0

```

```

302 % warning('MchiN::curvaMchi2: Newton-Raphson non va bene, calcolo con
    la bisezione...');
303 logFile('MchiN::curvaMchi2:_Newton-Raphson_non_va_bene,_calcolo_con_la
    _bisezione...');
304 bisez = 1;
305 break;
306 end
307 end
308 if bisez
309 %cerca il range di lavoro per la bisezione:
310 %fa la ricerca attraverso il "grid search"
311 for j=0:4
312 temp = linspace(-obj.epssu,obj.epssu,(2^j)*10);
313 Nint = zeros(size(temp));
314 for k=1:size(temp,2)
315 Nint(k) = obj.Fint(temp(k),chi(i));
316 end
317 [~,i_min] = min(Nint);
318 [~,i_max] = max(Nint);
319 if (Nint(i_min)<N && Nint(i_max)>N); break; end %ha trovato il range
320 %altrimenti continua finche' non e' discretizzato a
321 %sufficienza
322 end
323 if (Nint(i_min)>N || Nint(i_max)<N)
324 %se alla fine del for non ha ancora trovato il
325 %range allora non ci sono speranze neanche per la
326 %bisezione
327 % error('MchiN::curvaMchi2::bisezione: ERRORE nella ricerca del range
    per la bisezione');
328 %provare ad usare il "gradient descend" dal punto
329 %temp(i_min)
330 %IL TEST SULLA SEZIONE CIRCOLARE FALLISCE A QUESTO
331 %PUNTO PER \nu=0.3
332 M(i) = 0;
333 return;
334 end
335 eps0_min = temp(i_min);
336 eps0_max = temp(i_max);
337
338 %esegue la bisezione:
339 count = 0;
340 Ntot = [1 1 1];
341 tol_bis = 0.00001; %tolleranza per la bisezione
342 while (norm(Ntot) > (tol_bis * abs(N))) || (abs(abs(eps0_max)-abs(eps0_min))
    > (tol_bis * abs(eps0_min)))
343 eps0 = (eps0_min + eps0_max) / 2; %valore medio
344 Ntot(1) = obj.Fint(eps0_min,chi(i)) - N;
345 Ntot(2) = obj.Fint(eps0,chi(i)) - N;
346 Ntot(3) = obj.Fint(eps0_max,chi(i)) - N;
347 if (Ntot(1)*Ntot(2)) < 0
348 eps0_max = eps0;
349 else
350 eps0_min = eps0;
351 end
352 count = count + 1;
353 if count > 100
354 logFile('MchiN::curvaMchi2::bisezione:_ERRORE_convergenza');
355 error('MchiN::curvaMchi2::bisezione:_non_e' arrivato a convergenza
    ');
356 end
357 end
358 end
359 [~,M(i)] = obj.Fint(eps0,chi(i));
360 end
361 end
362
363 function [My,chiy,Mu,chiu] = findPoints(obj, N, ~)
364 %trova i punti di snervamento e ultimo della sezione dalla
365 %curva curvatura-momento.
366

```



```

367     [~,chi_max] = obj.ultimatePoint(N); %METODO PER STABILIZZARE I RISULTATI NUMERICI
368     [M,chi] = obj.curvaMchi3(N,chi_max); %calcola la curva "grezza"
369
370     %trova il punto ultimo come il punto in cui la curva comincia
371     %ad avere la derivata negativa (i materiali non hanno tratti
372     %degradanti a tangente negativa):
373     % i = find(diff(M) < 0 ,1); %tronca quando comincia a decrescere CERTE VOLTE
    FALLISCE PER PROBLEMI NUMERICI ALL'INIZIO
374     [~,i] = max(M); %tronca quando raggiunge il massimo
375     Mu = M(i);
376     chiu = chi(i);
377     %elimina la parte di curva dopo il punto ultimo:
378     M = M(1:i);
379     chi = chi(1:i);
380
381     %trova il punto di snervamento bilinearizzando la curva:
382     P0 = [chiu/3 3/4*Mu]; %parametri iniziali di prova
383     model = @(P,x) (P(2)/P(1)*x).*heaviside(P(1)-x) + ((Mu-P(2))/(chiu-P(1))*(x-P(1))+
        P(2)).*heaviside(x-P(1)); %crea il modello da fittare
384     lb = [0 0]; %lower bound (non ci possono essere valori negativi)
385     ub = [chiu Mu]; %upper bound (il punto di snervamento non puo' essere maggiore di
        quello ultimo)
386     options = optimoptions('lsqcurvefit','Display','off');
387     Pfit = lsqcurvefit(model,P0,chi,M,lb,ub,options); %fitta il modello minimizzando i
        quadrati
388     chiy = Pfit(1);
389     My = Pfit(2);
390
391     %controlla i risultati:
392
393     %comandi per i test:
394     if nargin > 2
395         plot(chi,M); hold on;
396         plot(linspace(0,chiu,100),model(Pfit,linspace(0,chiu,100)),'k--');
397         plot(chiy,My,'bo');
398         plot(chiu,Mu,'ro');
399     end
400
401 end
402
403 function [My,chiy,Mu,chiu] = findPoints2(obj, N, ~)
404     %trova i punti trovando prima chi_u e poi discretizzando la
405     %curva in un numero fisso di punti
406
407     [Mu,chiu] = obj.ultimatePoint(N);
408     [M,chi] = obj.curvaMchi3(N,chiu); %calcola la curva
409
410     %trova il punto di snervamento bilinearizzando la curva:
411     P0 = [chiu/3 3/4*Mu]; %parametri iniziali di prova
412     model = @(P,x) (P(2)/P(1)*x).*heaviside(P(1)-x) + ((Mu-P(2))/(chiu-P(1))*(x-P(1))+
        P(2)).*heaviside(x-P(1)); %crea il modello da fittare
413     lb = [0 0]; %lower bound (non ci possono essere valori negativi)
414     ub = [chiu Mu]; %upper bound (il punto di snervamento non puo' essere maggiore di
        quello ultimo)
415     options = optimoptions('lsqcurvefit','Display','off');
416     Pfit = lsqcurvefit(model,P0,chi,M,lb,ub,options); %fitta il modello minimizzando i
        quadrati
417     chiy = Pfit(1);
418     My = Pfit(2);
419
420     %DEBUGGING
421     if nargin > 2
422         plot(chi,M); hold on;
423         plot(chiy,My,'ob');
424         plot(chiu,Mu,'or');
425     end
426
427 end
428
429 function out = test(obj,eps0,chi)

```

```

430         %esegue dei test sulla sezione
431
432         N = zeros(size(eps0));
433         M = zeros(size(eps0));
434
435         for i=1:size(eps0,2)
436             [N(i),M(i)] = obj.Fint(eps0(1,i),chi);
437         end
438
439         out(:,1) = N;
440         out(:,2) = M;
441
442     end
443
444     function initRect(obj,h,b,As1,As2,c)
445         %inizializza una sezione rettangolare
446         if nargin < 6; c = 0.03; end
447         obj.addLayer(h,b,b); %crea la sezione in CLS
448         obj.addRebar(c,As1);
449         obj.addRebar(h-c,As2);
450
451         obj.initgeo;
452     end
453
454     function initRect2(obj,h,b,rhotot,rhoc_rhotot,db,c)
455         %inizializza una sezione rettangolare (con anche l'armatura di parete)
456         if nargin < 7; c = 0.03; end
457         Ac = b*h; %area calcestruzzo
458         Ab = pi/4 * db^2; %area della barra
459         np = max(round((h-2*c)/0.3-1), 0); %calcola il numero di armature di parete (non
            ci puo' essere in interfero maggiore di 30 cm tra esse) [maggiore uguale a
            zero..]
460         n2 = round(Ac*rhotot/Ab * rhoc_rhotot); %calcola il numero di armature superiori (
            compresse)
461         n1 = round(Ac*rhotot/Ab - n2 - 2*np); %calcola il numero di armature inferiori (
            tese)
462
463         obj.addLayer(h,b,b); %crea la sezione in CLS
464         obj.addRebar(c,n1*Ab); %crea l'armatura inferiore
465         obj.addRebar(h-c,n2*Ab); %crea l'armatura superiore
466         %aggiunge le armature di parete:
467         if np > 0
468             interferro_laterale = (h-2*c)/(np+1);
469             y = c + interferro_laterale;
470             for i=1:np
471                 obj.addRebar(y,2*Ab);
472                 y = y + interferro_laterale;
473             end
474         end
475
476         obj.initgeo; %calcola la geometria della sezione
477     end
478
479     function initCirc(obj,D,db,rhotot,c)
480         %inizializza una sezione circolare
481         if nargin < 6; c = 0.03; end
482         AreaBarra = pi/4 * db^2;
483         numeroBarre = round(rhotot * (D^2)/(db^2));
484
485         hs = D/50;
486
487         for y=linspace(0,D-hs,D/hs)
488             thetab = acos(1 - 2/D*y);
489             b = D*sin(thetab);
490             thetat = acos(1 - 2/D*(y+hs));
491             t = D*sin(thetat);
492             obj.addLayer(hs,real(b),real(t));
493         end
494         for theta=linspace(0,pi,(numeroBarre+1)/2)
495             y = D/2 - ((D-2*c)/2)*cos(theta);

```

```

496         obj.addRebar(y,2*AreaBarra);
497     end
498
499     obj.initgeo;
500 end
501
502 function initHollow(obj,h,b,s,db,rhotot,c)
503     %inizializza una sezione rettangolare cava
504     if nargin < 7; c = 0.03; end
505     AreaBarra = pi/4 * db^2;
506     nBarre = round(rhotot*(8*s*(h+b-2*s))/(pi*db^2));
507     interferro = 4*(h+b-2*s)/nBarre;
508     nBarreParete = round(4*(h-2*s)/interferro); %round(8/pi * ((h-2*s)*s)/(db^2));
509     nBarreStrati = round((nBarre-nBarreParete)/4);
510
511     %crea la sezione in CLS
512     obj.addLayer(s,b,b);
513     obj.addLayer(h-2*s,2*s,2*s);
514     obj.addLayer(s,b,b);
515     %aggiunge gli strati orizzontali
516     obj.addRebar(c,AreaBarra*nBarreStrati);
517     obj.addRebar(s-c,AreaBarra*nBarreStrati);
518     obj.addRebar(h-s+c,AreaBarra*nBarreStrati);
519     obj.addRebar(h-c,AreaBarra*nBarreStrati);
520     %aggiunge gli strati verticali
521     interferro_parete = (h-2*s)/(nBarreParete/4 + 1);
522     y = s + interferro_parete;
523     for i=1:(nBarreParete/4)
524         % obj.addRebar(s+(h-2*s)*(i/(nBarreParete/4)),4*AreaBarra);
525         obj.addRebar(y,4*AreaBarra);
526         y = y + interferro_parete;
527     end
528
529     obj.initgeo;
530 end
531
532 function plotSection(obj)
533     %plotta la sezione
534
535     for i=1:size(obj.layer,1)
536         %plotta i layers
537         y = obj.layer(i,1); %ordinata del lembo inferiore del layer
538         h = obj.layer(i,2); %altezza del layer
539         b = obj.layer(i,3); %larghezza di base del layer
540         t = obj.layer(i,4); %larghezza superiore del layer
541         Xp = [-b/2 b/2 t/2 -t/2];
542         Yp = [y y y+h y+h];
543         patch(Xp,Yp,[0.8 0.8 0.8]);
544         hold on;
545     end
546
547     for i=1:size(obj.rebar,1)
548         %plotta le barre
549         y = obj.rebar(i,1);
550         As = obj.rebar(i,2);
551         % line([-As/2*1000 As/2*1000],[y y],'Color','red');
552         plot([-As/2*1000 As/2*1000],[y y],'r','LineWidth',3);
553     end
554
555     hold off;
556     % text(0,obj.H/2,num2str(size(obj.rebar,1)));
557     axis equal;
558 end
559
560 end
561
562 end
563
564 end
565

```

```

566
567 % ChangeLog:
568 % -----
569 % 13/01/2021: Ho modificato le funzioni "ultimatePoint" eliminando la ricerca iniziale del
% range e "Fint" eliminando il -yg nel calcolo della deformazione
570 % 16/01/2021: Ho eliminato "findEquilibrium" e "curvaMchi" che non erano usate da tempo
571 % 17/01/2021: Ho inserito la funzione "curvaMchi3" che migliora "curvaMchi2"
572 %

```

B.2 Legami costitutivi

B.2.1 Calcestruzzo

Listing 1: legame costitutivo parabola-rettangolo per il calcestruzzo armato (ParabRett.m)

```

1 function sigma = ParabRett(eps, epsy, epsu, smax)
2 %legame costitutivo CLS NTC2018
3 %eps e' negativo di compressione
4
5 %     epsy = -0.0020;
6 %     epsu = -0.0035;
7 %     smax = -30; %MPa
8
9 sigma = zeros(size(eps));
10 for i=1:size(eps)
11     if (eps(i) > 0); sigma(i) = 0; %non resistente a trazione
12     elseif (eps(i) >= epsy); sigma(i) = smax * (2*eps(i)/epsy - (eps(i)*eps(i))/(
        epsy*epsy));
13     elseif (eps(i) >= epsu); sigma(i) = smax;
14     elseif (eps(i) < epsu); sigma(i) = 0.0;
15     end
16 end
17 end

```

Listing 2: legame costitutivo parabola-rettangolo per il calcestruzzo armato con la definizione anche della resistenza a trazione (ParabRett2.m)

B.2.2 Acciaio

Listing 3: legame costitutivo elasto-plastico perfetto per l'acciaio (ElastPlast.m)

```

1 function sigma = ElastPlast(eps, epsy, epsu, smax)
2 %legame costitutivo elastoplastico perfetto
3
4 %     %acciaio B450C (NTC2018):
5 %     epsy = 0.002;
6 %     epsu = 0.010;
7 %     smax = 391; %MPa
8
9 sigma = zeros(size(eps));
10 for i=1:size(eps)
11     if (eps(i) <= -epsu); sigma(i) = 0.0;
12     elseif (eps(i) <= -epsy); sigma(i) = -smax;
13     elseif (eps(i) <= epsy); sigma(i) = eps(i) * (smax/epsy);
14     elseif (eps(i) <= epsu); sigma(i) = smax;
15     elseif (eps(i) > epsu); sigma(i) = 0.0;
16     end
17 end
18 end

```